

Eingabe: Farbmétrisches Natürliches-Reflektiv-System CNS18

für Buntton $h^* = lab^*h = 25/360 = 0.069$

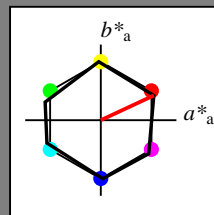
lab^*tch und lab^*nch

D65: Buntton R

LCH*Ma: 57 77 25

olv*Ma: 1.0 0.0 0.0

Dreiecks-Helligkeit t^*



CNS18; adaptierte CIELAB-Daten

	$L^*=L_a^*$	a_a^*	b_a^*	$C_{ab,a}^*$	$h_{ab,a}^*$
RMa	56.7	70.15	32.71	77.4	25
JMa	56.7	-2.69	77.35	77.4	92
GMa	56.7	-73.6	23.92	77.4	162
G50B _{Ma}	56.7	-71.24	-30.23	77.4	203
B _{Ma}	56.7	2.7	-77.34	77.4	272
B50R _{Ma}	56.7	63.4	-44.38	77.4	325
N _{Ma}	18.01	0.0	0.0	0.0	0
W _{Ma}	95.41	0.0	0.0	0.0	0
RCIE	39.92	58.74	27.99	65.07	25
JCIE	81.26	-2.88	71.56	71.62	92
GCIE	52.23	-42.41	13.6	44.55	162
BCIE	30.57	1.41	-46.46	46.49	272

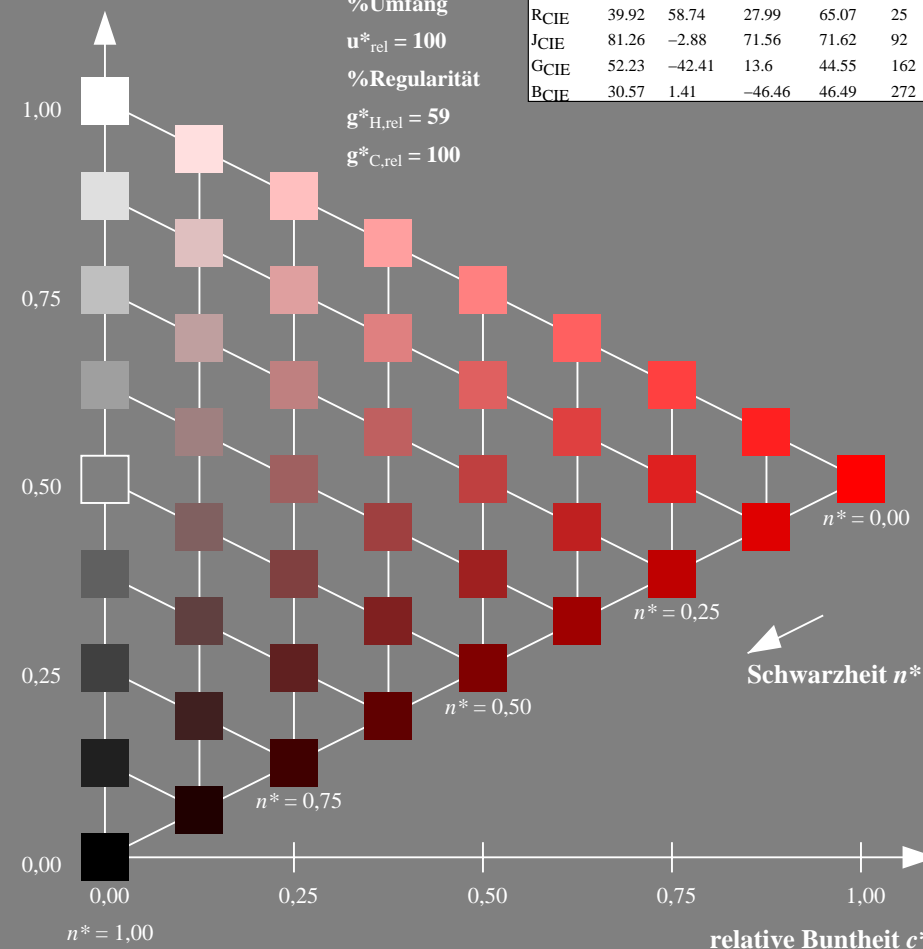
%Umfang

$u_{rel}^* = 100$

%Regularität

$g_{H,rel}^* = 59$

$g_{C,rel}^* = 100$



Schwarzheit n^*

VG370-7, 9stufige Reihen für konstanten CIELAB Buntton 25/360 = 0.069 (links)



BAM-Prüfvorlage VG37; Farbmétrik-Systeme CNS18 & FRS06 input: olv* setrgbcolor

D65: 9 und 16stufige Farbreihen für 10 Bunttöne

Ausgabe: Farbmétrisches Drucker-Reflektiv-System FRS06

für Buntton $h^* = lab^*h = 25/360 = 0.069$

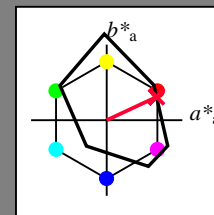
lab^*tch und lab^*nch

D65: Buntton R

LCH*Ma: 33 73 25

olv*Ma: 1.0 0.0 0.2

Dreiecks-Helligkeit t^*



FRS06; adaptierte CIELAB-Daten

	$L^*=L_a^*$	a_a^*	b_a^*	$C_{ab,a}^*$	$h_{ab,a}^*$
OMa	32.57	62.32	46.49	77.75	37
YMa	82.73	-3.16	113.99	114.03	92
LMa	39.43	-61.79	45.84	76.95	143
CMa	47.86	-26.79	-34.24	43.49	232
VMa	10.16	55.12	-61.03	82.24	312
MMa	34.5	80.68	-33.92	87.52	337
N _{Ma}	6.25	0.0	0.0	0.0	0
W _{Ma}	91.97	0.0	0.0	0.0	0
RCIE	39.92	59.8	31.05	67.38	27
JCIE	81.26	-2.52	76.25	76.29	92
GCIE	52.23	-41.56	17.14	44.96	158
BCIE	30.57	2.63	-43.77	43.86	273

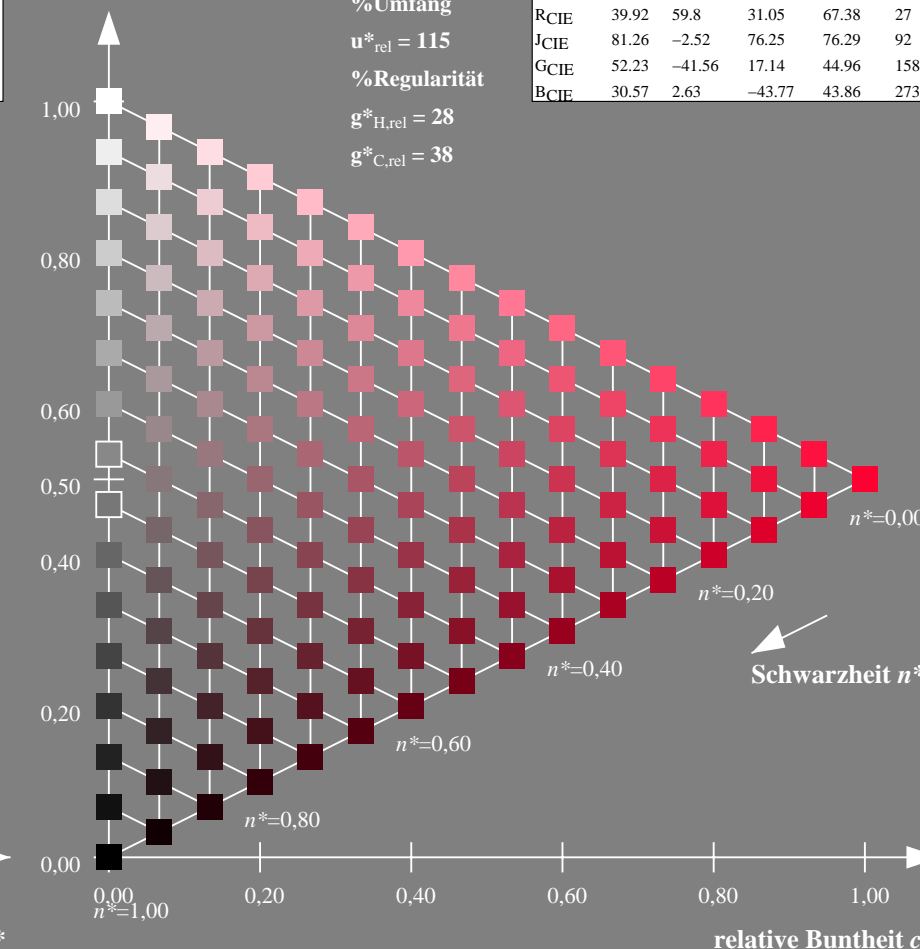
%Umfang

$u_{rel}^* = 115$

%Regularität

$g_{H,rel}^* = 28$

$g_{C,rel}^* = 38$



Schwarzheit n^*

16stufige Reihen für konstanten CIELAB Buntton 25/360 = 0.069 (rechts)



output: no change compared to input

Eingabe: Farbmétrisches Natürliches-Reflektiv-System CNS18

für Buntton $h^* = lab^*h = 92/360 = 0.256$

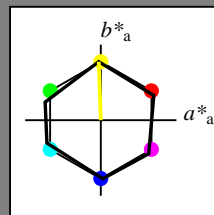
lab^*tch und lab^*nch

D65: Buntton J

LCH*Ma: 57 77 92

olv*Ma: 1.0 1.0 0.0

Dreiecks-Helligkeit t^*



CNS18; adaptierte CIELAB-Daten

	$L^*=L_a^*$	a_a^*	b_a^*	$C_{ab,a}^*$	$h_{ab,a}^*$
RMa	56.7	70.15	32.71	77.4	25
JMa	56.7	-2.69	77.35	77.4	92
GMa	56.7	-73.6	23.92	77.4	162
G50B _{Ma}	56.7	-71.24	-30.23	77.4	203
B _{Ma}	56.7	2.7	-77.34	77.4	272
B50R _{Ma}	56.7	63.4	-44.38	77.4	325
N _{Ma}	18.01	0.0	0.0	0.0	0
W _{Ma}	95.41	0.0	0.0	0.0	0
RCIE	39.92	58.74	27.99	65.07	25
JCIE	81.26	-2.88	71.56	71.62	92
GCIE	52.23	-42.41	13.6	44.55	162
BCIE	30.57	1.41	-46.46	46.49	272

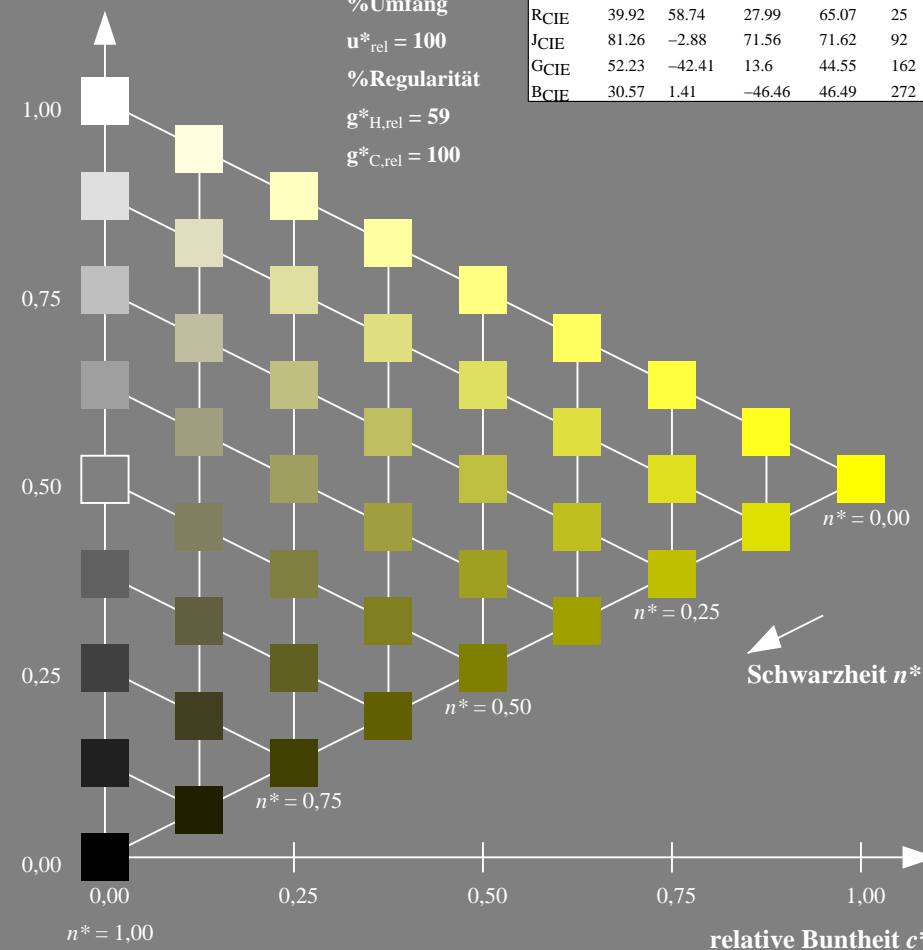
%Umfang

$u_{rel}^* = 100$

%Regularität

$g_{H,rel}^* = 59$

$g_{C,rel}^* = 100$



VG370-7, 9stufige Reihen für konstanten CIELAB Buntton 92/360 = 0.256 (links)

BAM-Prüfvorlage VG37; Farbmétrik-Systeme CNS18 & FRS06 input: olv* setrgbcolor

D65: 9 und 16stufige Farbreihen für 10 Bunttöne

Ausgabe: Farbmétrisches Drucker-Reflektiv-System FRS06

für Buntton $h^* = lab^*h = 92/360 = 0.256$

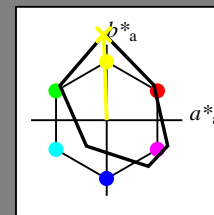
lab^*tch und lab^*nch

D65: Buntton J

LCH*Ma: 82 113 92

olv*Ma: 0.99 1.0 0.0

Dreiecks-Helligkeit t^*



FRS06; adaptierte CIELAB-Daten

	$L^*=L_a^*$	a_a^*	b_a^*	$C_{ab,a}^*$	$h_{ab,a}^*$
OMa	32.57	62.32	46.49	77.75	37
YMa	82.73	-3.16	113.99	114.03	92
LMa	39.43	-61.79	45.84	76.95	143
CMa	47.86	-26.79	-34.24	43.49	232
VMa	10.16	55.12	-61.03	82.24	312
MMa	34.5	80.68	-33.92	87.52	337
N _{Ma}	6.25	0.0	0.0	0.0	0
W _{Ma}	91.97	0.0	0.0	0.0	0
RCIE	39.92	59.8	31.05	67.38	27
JCIE	81.26	-2.52	76.25	76.29	92
GCIE	52.23	-41.56	17.14	44.96	158
BCIE	30.57	2.63	-43.77	43.86	273

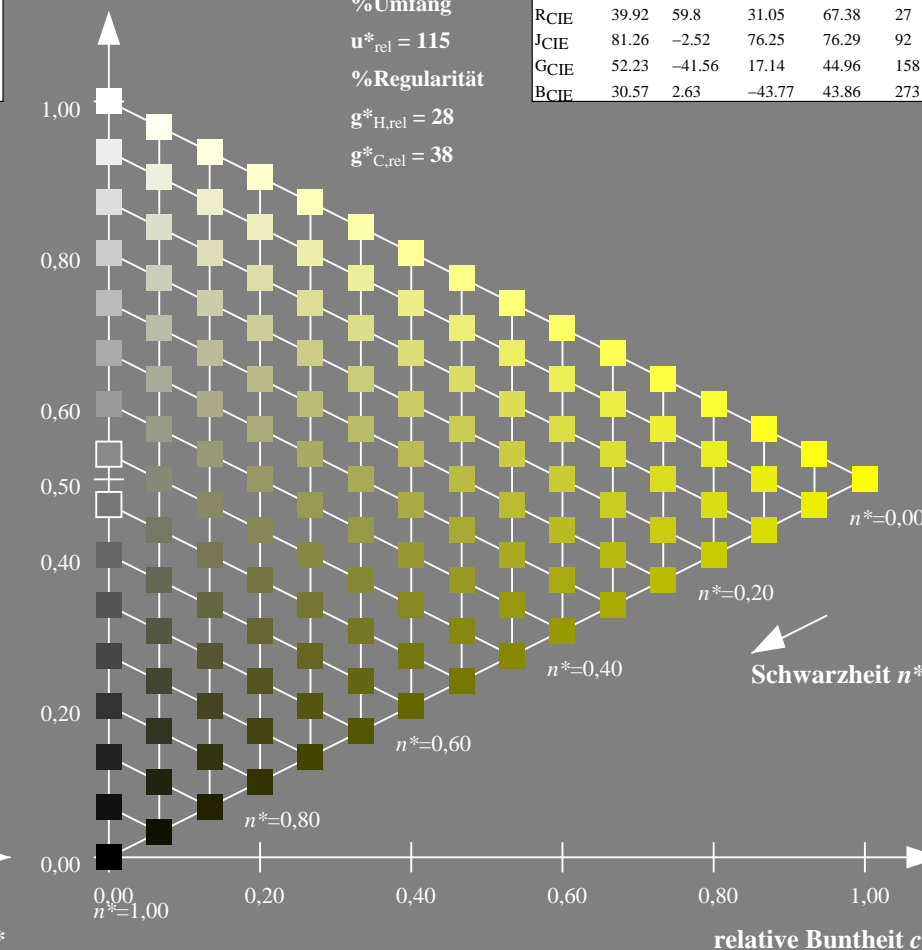
%Umfang

$u_{rel}^* = 115$

%Regularität

$g_{H,rel}^* = 28$

$g_{C,rel}^* = 38$



16stufige Reihen für konstanten CIELAB Buntton 92/360 = 0.256 (rechts)

output: no change compared to input

Eingabe: Farbmétrisches Natürliches-Reflektiv-System CNS18

für Buntton $h^* = lab^*h = 162/360 = 0.45$

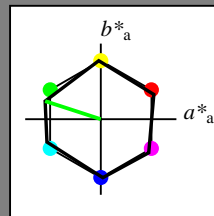
lab^*tch und lab^*nch

D65: Buntton G

LCH*Ma: 57 77 162

olv*Ma: 0.0 1.0 0.0

Dreiecks-Helligkeit t^*



CNS18; adaptierte CIELAB-Daten

	$L^*=L_a^*$	a_a^*	b_a^*	$C_{ab,a}^*$	$h_{ab,a}^*$
RMa	56.7	70.15	32.71	77.4	25
JMa	56.7	-2.69	77.35	77.4	92
GMa	56.7	-73.6	23.92	77.4	162
G50B _{Ma}	56.7	-71.24	-30.23	77.4	203
B _{Ma}	56.7	2.7	-77.34	77.4	272
B50R _{Ma}	56.7	63.4	-44.38	77.4	325
N _{Ma}	18.01	0.0	0.0	0.0	0
W _{Ma}	95.41	0.0	0.0	0.0	0
RCIE	39.92	58.74	27.99	65.07	25
JCIE	81.26	-2.88	71.56	71.62	92
GCIE	52.23	-42.41	13.6	44.55	162
BCIE	30.57	1.41	-46.46	46.49	272

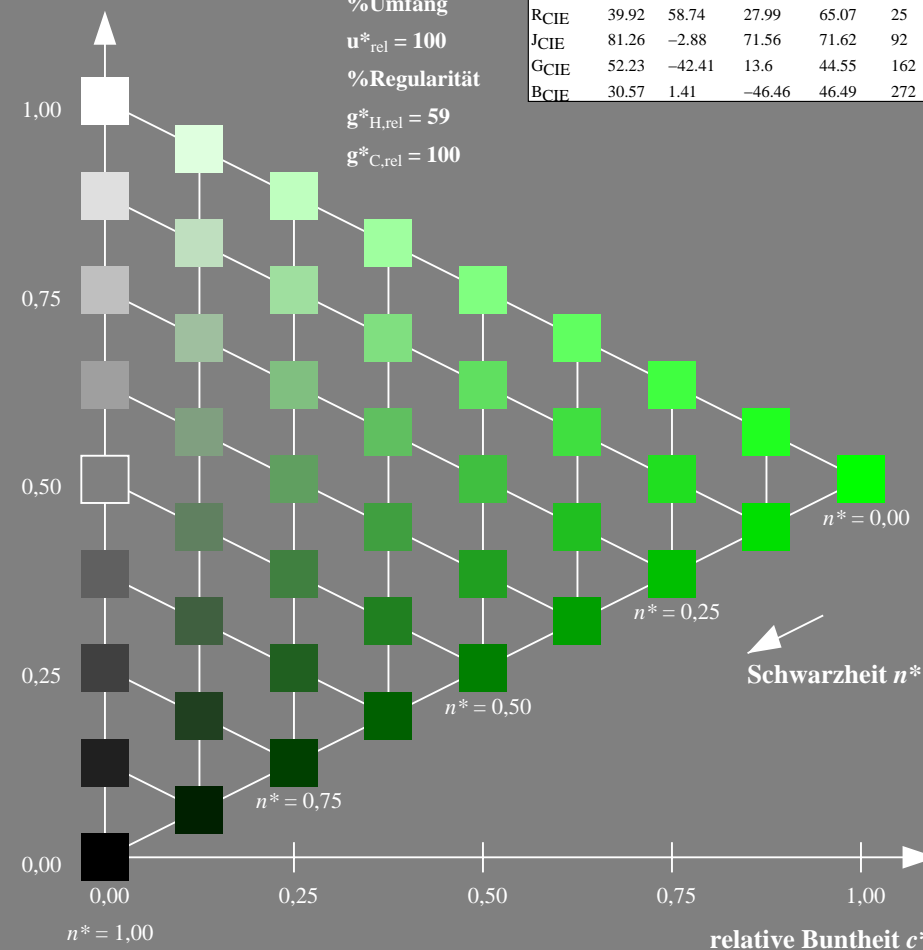
%Umfang

$u_{rel}^* = 100$

%Regularität

$g_{H,rel}^* = 59$

$g_{C,rel}^* = 100$



VG370-7, 9stufige Reihen für konstanten CIELAB Buntton 162/360 = 0.45 (links)

BAM-Prüfvorlage VG37; Farbmétrik-Systeme CNS18 & FRS06 input: olv* setrgbcolor

D65: 9 und 16stufige Farbreihen für 10 Bunttöne

Ausgabe: Farbmétrisches Drucker-Reflektiv-System FRS06

für Buntton $h^* = lab^*h = 162/360 = 0.45$

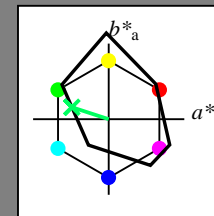
lab^*tch und lab^*nch

D65: Buntton G

LCH*Ma: 43 51 162

olv*Ma: 0.0 1.0 0.37

Dreiecks-Helligkeit t^*



FRS06; adaptierte CIELAB-Daten

	$L^*=L_a^*$	a_a^*	b_a^*	$C_{ab,a}^*$	$h_{ab,a}^*$
OMa	32.57	62.32	46.49	77.75	37
YMa	82.73	-3.16	113.99	114.03	92
LMa	39.43	-61.79	45.84	76.95	143
CMa	47.86	-26.79	-34.24	43.49	232
VMa	10.16	55.12	-61.03	82.24	312
MMa	34.5	80.68	-33.92	87.52	337
N _{Ma}	6.25	0.0	0.0	0.0	0
W _{Ma}	91.97	0.0	0.0	0.0	0
RCIE	39.92	59.8	31.05	67.38	27
JCIE	81.26	-2.52	76.25	76.29	92
GCIE	52.23	-41.56	17.14	44.96	158
BCIE	30.57	2.63	-43.77	43.86	273

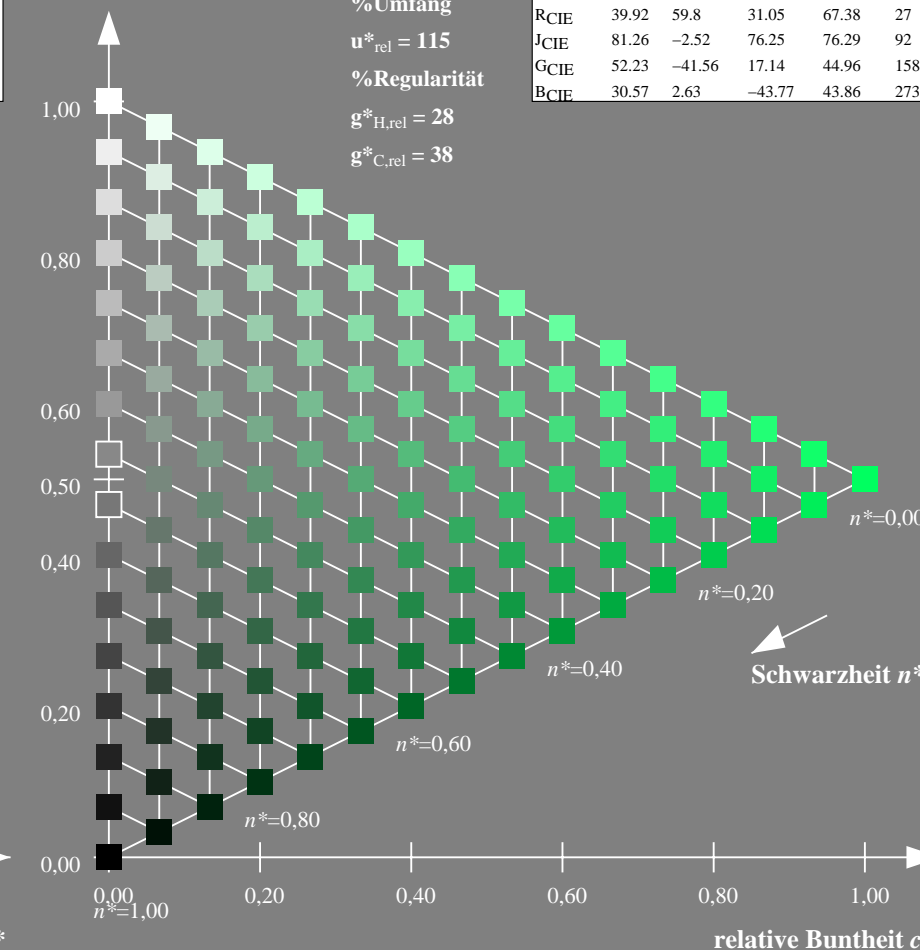
%Umfang

$u_{rel}^* = 115$

%Regularität

$g_{H,rel}^* = 28$

$g_{C,rel}^* = 38$



16stufige Reihen für konstanten CIELAB Buntton 162/360 = 0.45 (rechts)

output: no change compared to input

Eingabe: Farbmétrisches Natürliches-Reflektiv-System CNS18

für Buntton $h^* = lab^*h = 203/360 = 0.564$

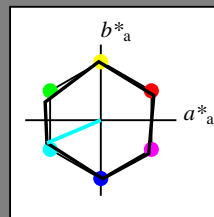
lab^*tch und lab^*nch

D65: Buntton G50B

LCH*Ma: 57 77 203

olv*Ma: 0.0 1.0 1.0

Dreiecks-Helligkeit t^*



CNS18; adaptierte CIELAB-Daten

	$L^*=L_a^*$	a_a^*	b_a^*	$C_{ab,a}^*$	$h_{ab,a}^*$
RMa	56.7	70.15	32.71	77.4	25
JMa	56.7	-2.69	77.35	77.4	92
GMa	56.7	-73.6	23.92	77.4	162
G50B _{Ma}	56.7	-71.24	-30.23	77.4	203
B _{Ma}	56.7	2.7	-77.34	77.4	272
B50R _{Ma}	56.7	63.4	-44.38	77.4	325
N _{Ma}	18.01	0.0	0.0	0.0	0
W _{Ma}	95.41	0.0	0.0	0.0	0
RCIE	39.92	58.74	27.99	65.07	25
JCIE	81.26	-2.88	71.56	71.62	92
GCIE	52.23	-42.41	13.6	44.55	162
BCIE	30.57	1.41	-46.46	46.49	272

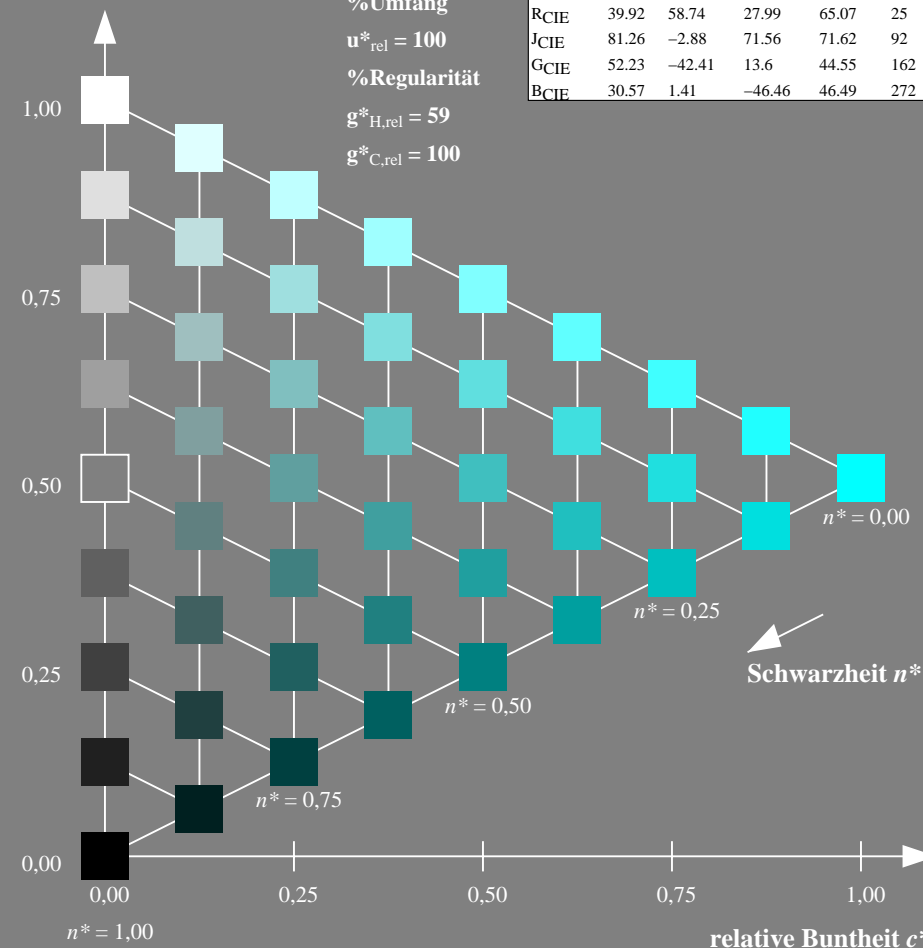
%Umfang

$u_{rel}^* = 100$

%Regularität

$g_{H,rel}^* = 59$

$g_{C,rel}^* = 100$



VG370-7, 9stufige Reihen für konstanten CIELAB Buntton 203/360 = 0.564 (links)

BAM-Prüfvorlage VG37; Farbmétrik-Systeme CNS18 & FRS06 input: olv* setrgbcolor

D65: 9 und 16stufige Farbreihen für 10 Bunttöne

Ausgabe: Farbmétrisches Drucker-Reflektiv-System FRS06

für Buntton $h^* = lab^*h = 203/360 = 0.564$

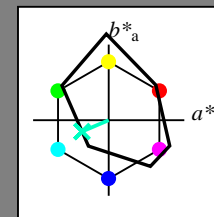
lab^*tch und lab^*nch

D65: Buntton G50B

LCH*Ma: 46 38 203

olv*Ma: 0.0 1.0 0.76

Dreiecks-Helligkeit t^*



FRS06; adaptierte CIELAB-Daten

	$L^*=L_a^*$	a_a^*	b_a^*	$C_{ab,a}^*$	$h_{ab,a}^*$
OMa	32.57	62.32	46.49	77.75	37
YMa	82.73	-3.16	113.99	114.03	92
LMa	39.43	-61.79	45.84	76.95	143
C _{Ma}	47.86	-26.79	-34.24	43.49	232
V _{Ma}	10.16	55.12	-61.03	82.24	312
M _{Ma}	34.5	80.68	-33.92	87.52	337
N _{Ma}	6.25	0.0	0.0	0.0	0
W _{Ma}	91.97	0.0	0.0	0.0	0
RCIE	39.92	59.8	31.05	67.38	27
JCIE	81.26	-2.52	76.25	76.29	92
GCIE	52.23	-41.56	17.14	44.96	158
BCIE	30.57	2.63	-43.77	43.86	273

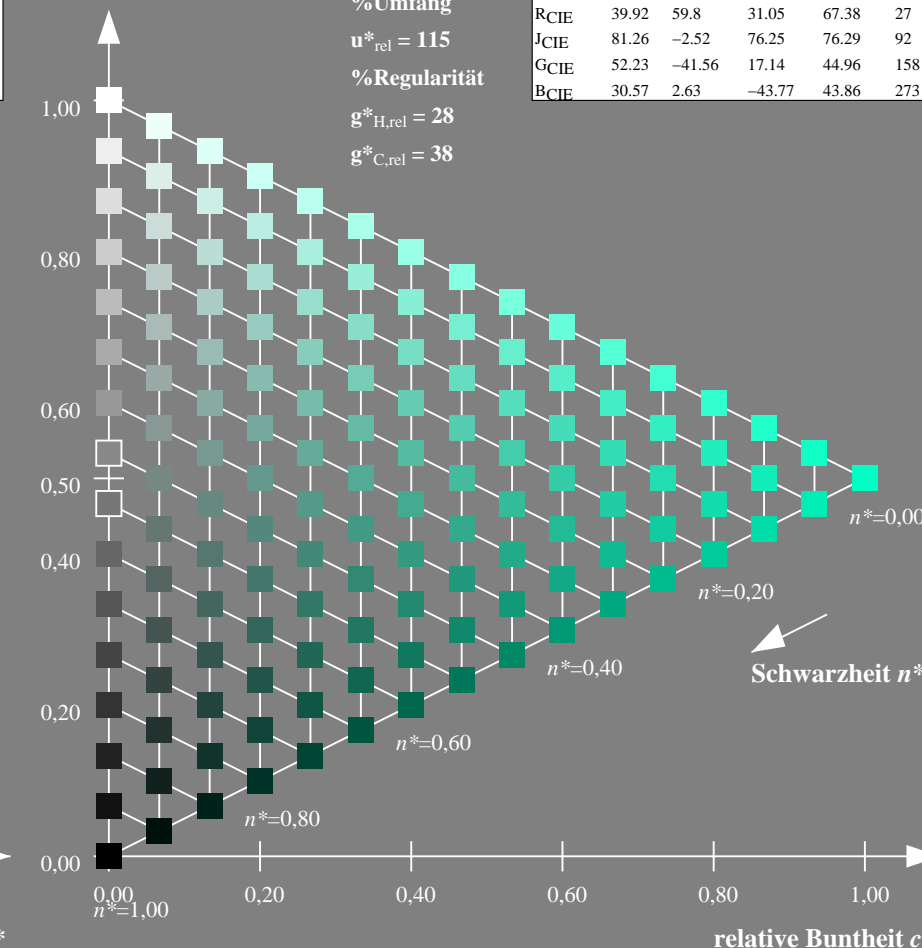
%Umfang

$u_{rel}^* = 115$

%Regularität

$g_{H,rel}^* = 28$

$g_{C,rel}^* = 38$



16stufige Reihen für konstanten CIELAB Buntton 203/360 = 0.564 (rechts)

output: no change compared to input

Eingabe: Farbmétrisches Natürliches-Reflektiv-System CNS18

für Buntton $h^* = lab^*h = 272/360 = 0.756$

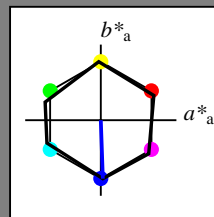
lab^*tch und lab^*nch

D65: Buntton B

LCH*Ma: 57 77 272

olv*Ma: 0.0 0.0 1.0

Dreiecks-Helligkeit t^*



CNS18; adaptierte CIELAB-Daten

	$L^*=L_a^*$	a_a^*	b_a^*	$C_{ab,a}^*$	$h_{ab,a}^*$
RMa	56.7	70.15	32.71	77.4	25
JMa	56.7	-2.69	77.35	77.4	92
GMa	56.7	-73.6	23.92	77.4	162
G50B _{Ma}	56.7	-71.24	-30.23	77.4	203
B _{Ma}	56.7	2.7	-77.34	77.4	272
B50R _{Ma}	56.7	63.4	-44.38	77.4	325
N _{Ma}	18.01	0.0	0.0	0.0	0
W _{Ma}	95.41	0.0	0.0	0.0	0
RCIE	39.92	58.74	27.99	65.07	25
JCIE	81.26	-2.88	71.56	71.62	92
GCIE	52.23	-42.41	13.6	44.55	162
BCIE	30.57	1.41	-46.46	46.49	272

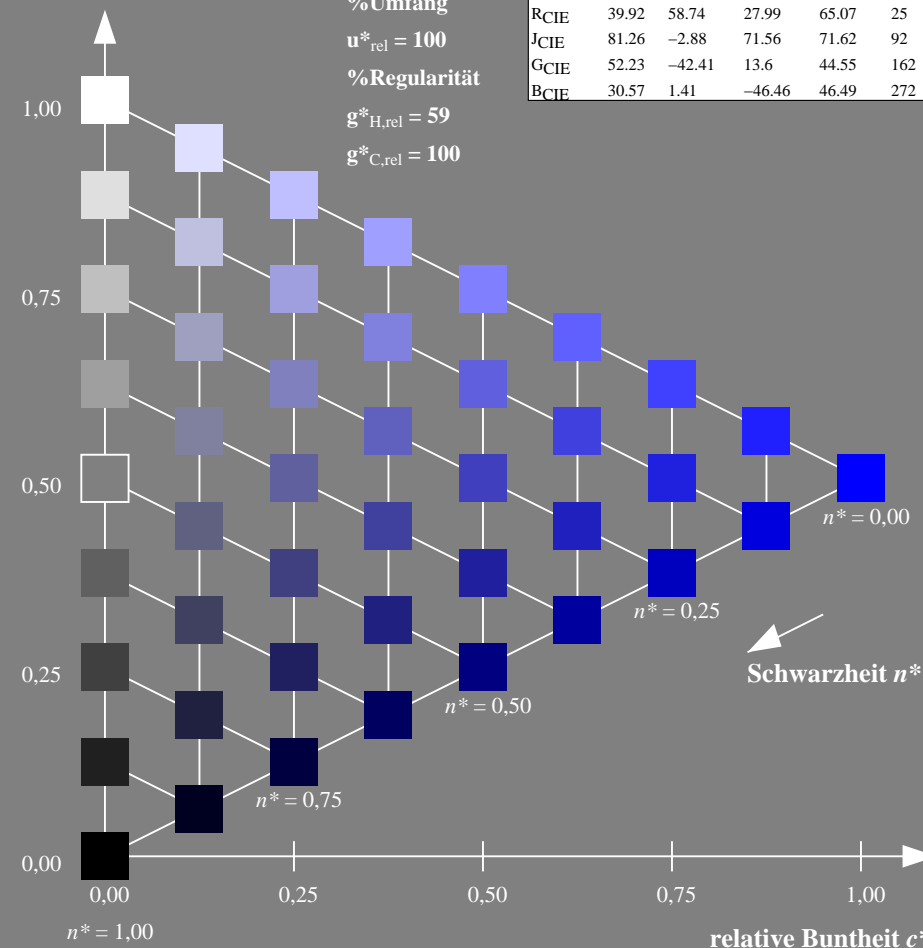
%Umfang

$u_{rel}^* = 100$

%Regularität

$g_{H,rel}^* = 59$

$g_{C,rel}^* = 100$



VG370-7, 9stufige Reihen für konstanten CIELAB Buntton 272/360 = 0.756 (links)

BAM-Prüfvorlage VG37; Farbmétrik-Systeme CNS18 & FRS06 input: olv* setrgbcolor

D65: 9 und 16stufige Farbreihen für 10 Bunttöne

Ausgabe: Farbmétrisches Drucker-Reflektiv-System FRS06

für Buntton $h^* = lab^*h = 272/360 = 0.756$

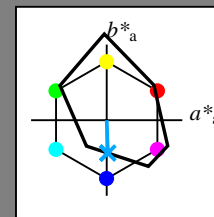
lab^*tch und lab^*nch

D65: Buntton B

LCH*Ma: 35 44 272

olv*Ma: 0.0 0.65 1.0

Dreiecks-Helligkeit t^*



FRS06; adaptierte CIELAB-Daten

	$L^*=L_a^*$	a_a^*	b_a^*	$C_{ab,a}^*$	$h_{ab,a}^*$
OMa	32.57	62.32	46.49	77.75	37
YMa	82.73	-3.16	113.99	114.03	92
LMa	39.43	-61.79	45.84	76.95	143
CMa	47.86	-26.79	-34.24	43.49	232
VMa	10.16	55.12	-61.03	82.24	312
MMa	34.5	80.68	-33.92	87.52	337
N _{Ma}	6.25	0.0	0.0	0.0	0
W _{Ma}	91.97	0.0	0.0	0.0	0
RCIE	39.92	59.8	31.05	67.38	27
JCIE	81.26	-2.52	76.25	76.29	92
GCIE	52.23	-41.56	17.14	44.96	158
BCIE	30.57	2.63	-43.77	43.86	273

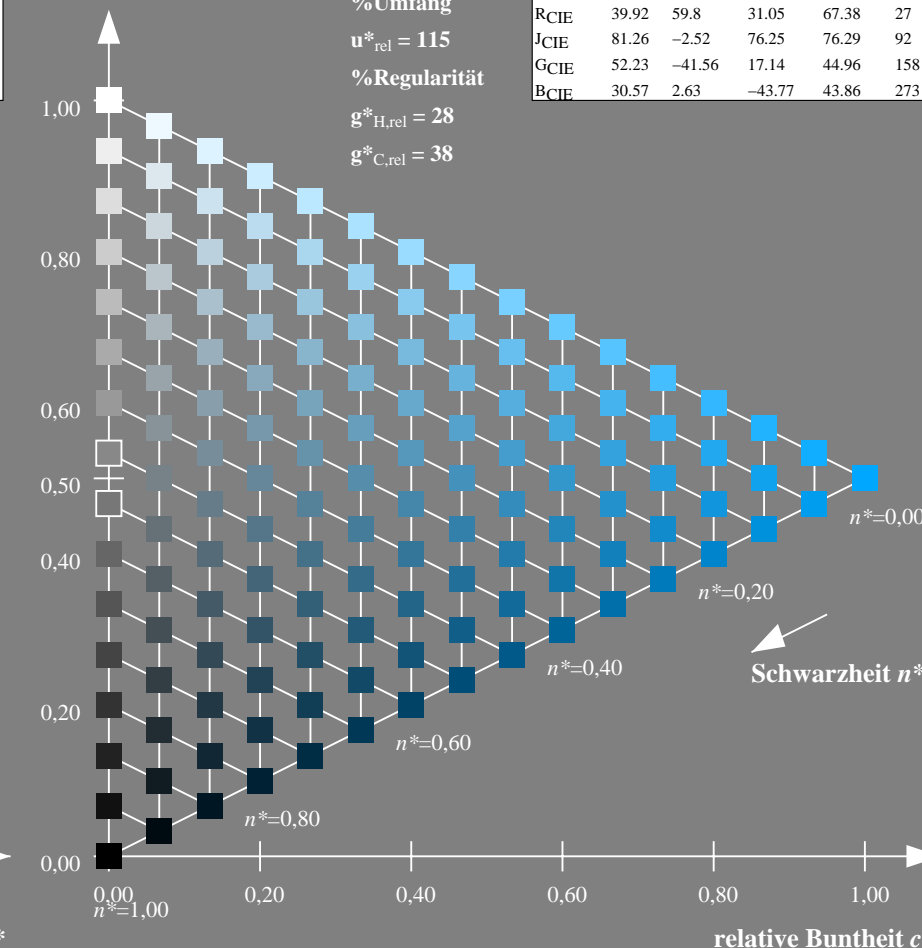
%Umfang

$u_{rel}^* = 115$

%Regularität

$g_{H,rel}^* = 28$

$g_{C,rel}^* = 38$



16stufige Reihen für konstanten CIELAB Buntton 272/360 = 0.756 (rechts)

output: no change compared to input

Eingabe: Farbmétrisches Natürliches-Reflektiv-System CNS18

für Buntton $h^* = lab^*h = 325/360 = 0.903$

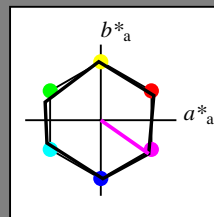
lab^*tch und lab^*nch

D65: Buntton B50R

LCH*Ma: 57 77 325

olv*Ma: 1.0 0.0 1.0

Dreiecks-Helligkeit t^*



CNS18; adaptierte CIELAB-Daten

	$L^*=L_a^*$	a_a^*	b_a^*	$C_{ab,a}^*$	$h_{ab,a}^*$
RMa	56.7	70.15	32.71	77.4	25
JMa	56.7	-2.69	77.35	77.4	92
GMa	56.7	-73.6	23.92	77.4	162
G50B _{Ma}	56.7	-71.24	-30.23	77.4	203
B _{Ma}	56.7	2.7	-77.34	77.4	272
B50R _{Ma}	56.7	63.4	-44.38	77.4	325
N _{Ma}	18.01	0.0	0.0	0.0	0
W _{Ma}	95.41	0.0	0.0	0.0	0
RCIE	39.92	58.74	27.99	65.07	25
JCIE	81.26	-2.88	71.56	71.62	92
GCIE	52.23	-42.41	13.6	44.55	162
BCIE	30.57	1.41	-46.46	46.49	272

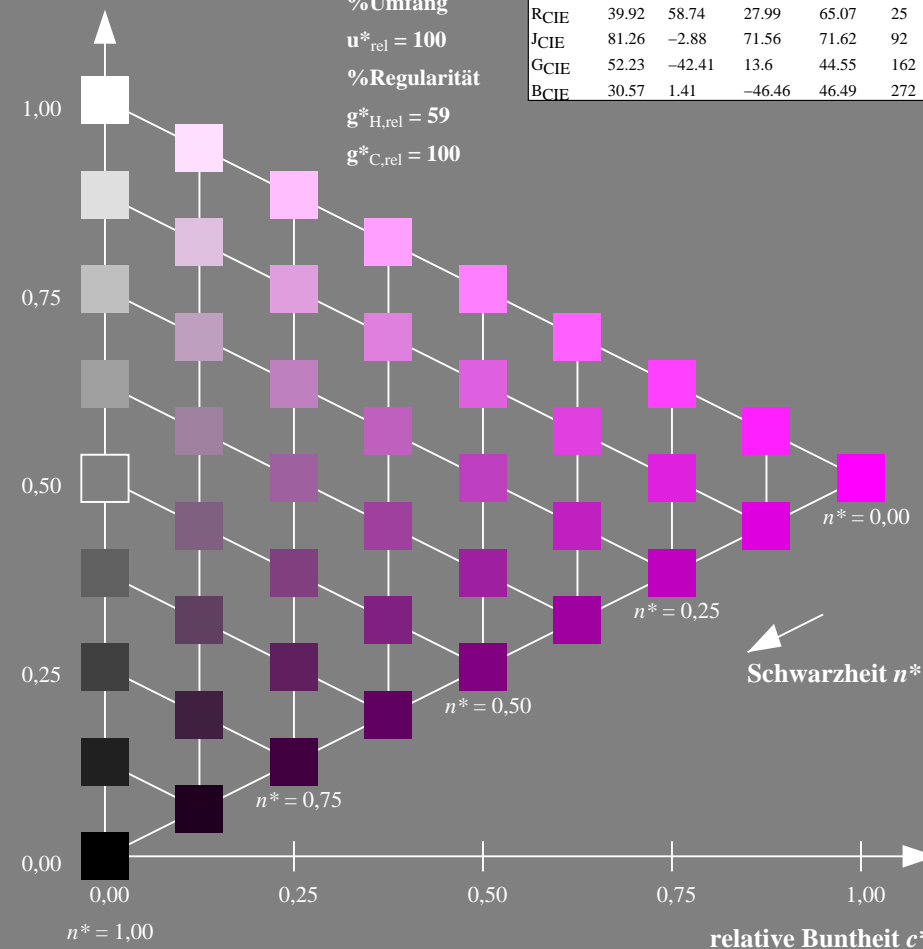
%Umfang

$u_{rel}^* = 100$

%Regularität

$g_{H,rel}^* = 59$

$g_{C,rel}^* = 100$



Schwarzheit n^*

VG370-7, 9stufige Reihen für konstanten CIELAB Buntton 325/360 = 0.903 (links)

BAM-Prüfvorlage VG37; Farbmétrik-Systeme CNS18 & FRS06 input: olv* setrgbcolor

D65: 9 und 16stufige Farbreihen für 10 Bunttöne

Ausgabe: Farbmétrisches Drucker-Reflektiv-System FRS06

für Buntton $h^* = lab^*h = 325/360 = 0.903$

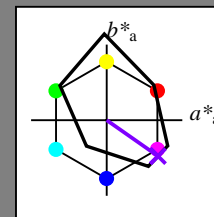
lab^*tch und lab^*nch

D65: Buntton B50R

LCH*Ma: 22 83 325

olv*Ma: 0.5 0.0 1.0

Dreiecks-Helligkeit t^*



FRS06; adaptierte CIELAB-Daten

	$L^*=L_a^*$	a_a^*	b_a^*	$C_{ab,a}^*$	$h_{ab,a}^*$
OMa	32.57	62.32	46.49	77.75	37
YMa	82.73	-3.16	113.99	114.03	92
LMa	39.43	-61.79	45.84	76.95	143
CMa	47.86	-26.79	-34.24	43.49	232
VMa	10.16	55.12	-61.03	82.24	312
MMa	34.5	80.68	-33.92	87.52	337
N _{Ma}	6.25	0.0	0.0	0.0	0
W _{Ma}	91.97	0.0	0.0	0.0	0
RCIE	39.92	59.8	31.05	67.38	27
JCIE	81.26	-2.52	76.25	76.29	92
GCIE	52.23	-41.56	17.14	44.96	158
BCIE	30.57	2.63	-43.77	43.86	273

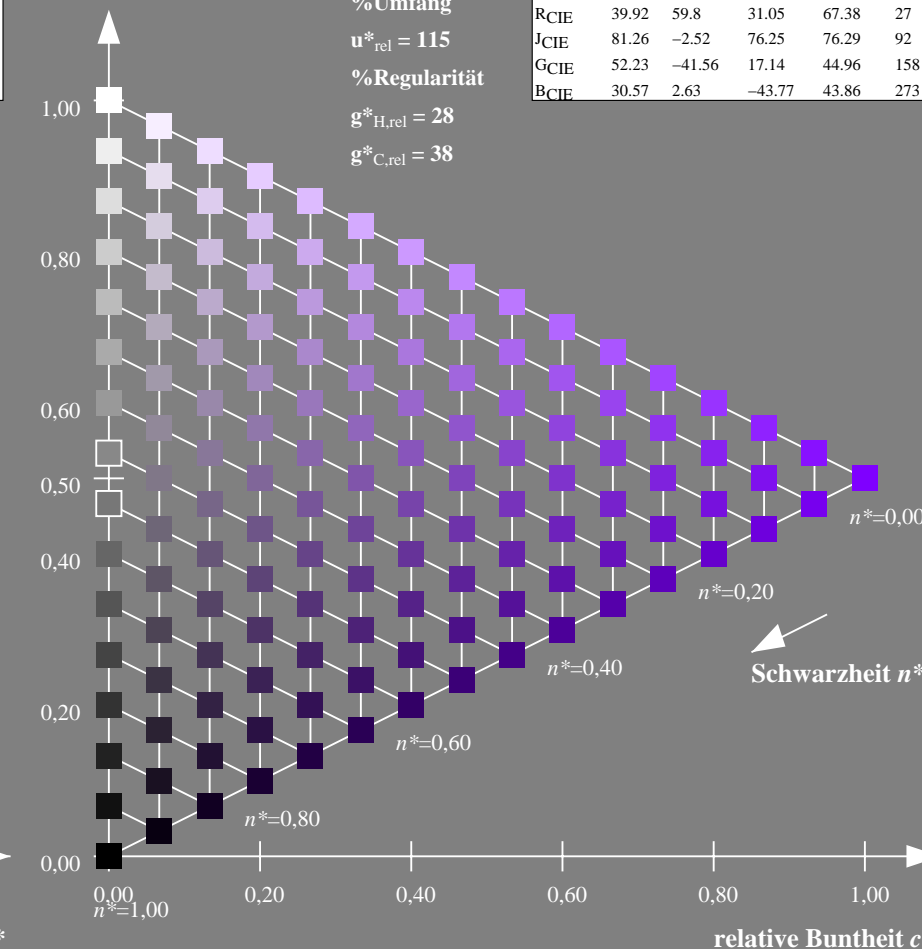
%Umfang

$u_{rel}^* = 115$

%Regularität

$g_{H,rel}^* = 28$

$g_{C,rel}^* = 38$



Schwarzheit n^*

16stufige Reihen für konstanten CIELAB Buntton 325/360 = 0.903 (rechts)

output: no change compared to input

Eingabe: Farbmétrisches Natürliches-Reflektiv-System CNS18

für Buntton $h^* = lab^*h = 25/360 = 0.071$

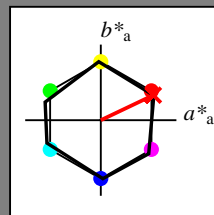
lab^*tch und lab^*nch

D65: Buntton R

LCH*Ma: 57 77 25

olv*Ma: 1.0 0.01 0.0

Dreiecks-Helligkeit t^*



CNS18; adaptierte CIELAB-Daten

	$L^*=L_a^*$	a_a^*	b_a^*	$C_{ab,a}^*$	$h_{ab,a}^*$
RMa	56.7	70.15	32.71	77.4	25
JMa	56.7	-2.69	77.35	77.4	92
GMa	56.7	-73.6	23.92	77.4	162
G50B _{Ma}	56.7	-71.24	-30.23	77.4	203
B _{Ma}	56.7	2.7	-77.34	77.4	272
B50R _{Ma}	56.7	63.4	-44.38	77.4	325
N _{Ma}	18.01	0.0	0.0	0.0	0
W _{Ma}	95.41	0.0	0.0	0.0	0
RCIE	39.92	58.74	27.99	65.07	25
JCIE	81.26	-2.88	71.56	71.62	92
GCIE	52.23	-42.41	13.6	44.55	162
BCIE	30.57	1.41	-46.46	46.49	272

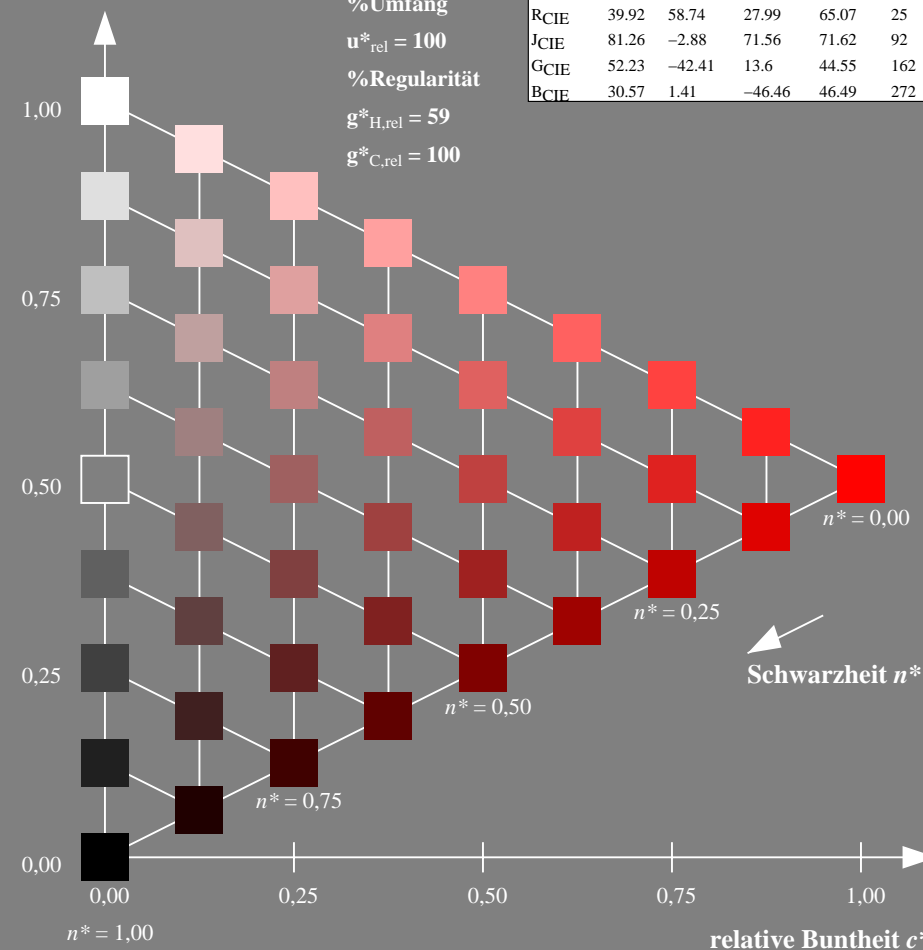
%Umfang

$u_{rel}^* = 100$

%Regularität

$g_{H,rel}^* = 59$

$g_{C,rel}^* = 100$



Ausgabe: Farbmétrisches Drucker-Reflektiv-System FRS06

für Buntton $h^* = lab^*h = 25/360 = 0.071$

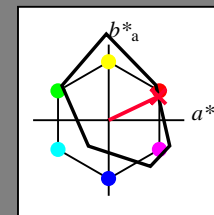
lab^*tch und lab^*nch

D65: Buntton R

LCH*Ma: 33 73 25

olv*Ma: 1.0 0.0 0.19

Dreiecks-Helligkeit t^*



FRS06; adaptierte CIELAB-Daten

	$L^*=L_a^*$	a_a^*	b_a^*	$C_{ab,a}^*$	$h_{ab,a}^*$
OMa	32.57	62.32	46.49	77.75	37
YMa	82.73	-3.16	113.99	114.03	92
LMa	39.43	-61.79	45.84	76.95	143
CMa	47.86	-26.79	-34.24	43.49	232
VMa	10.16	55.12	-61.03	82.24	312
MMa	34.5	80.68	-33.92	87.52	337
N _{Ma}	6.25	0.0	0.0	0.0	0
W _{Ma}	91.97	0.0	0.0	0.0	0
RCIE	39.92	59.8	31.05	67.38	27
JCIE	81.26	-2.52	76.25	76.29	92
GCIE	52.23	-41.56	17.14	44.96	158
BCIE	30.57	2.63	-43.77	43.86	273

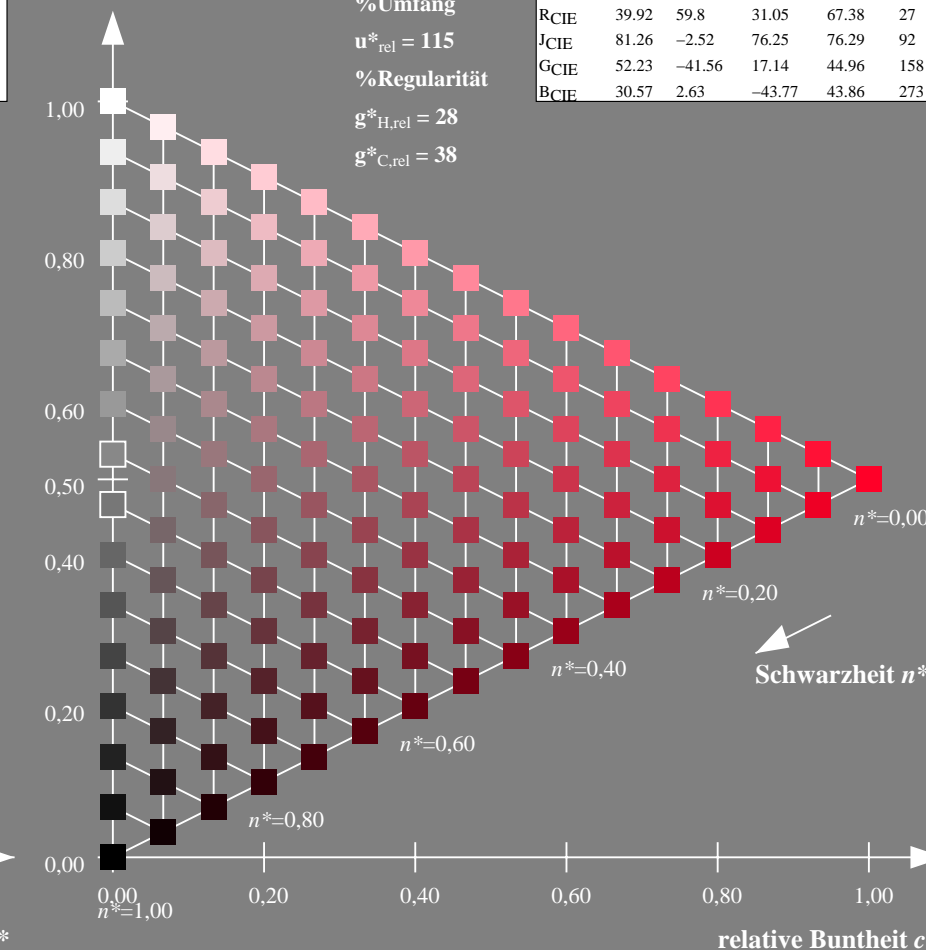
%Umfang

$u_{rel}^* = 115$

%Regularität

$g_{H,rel}^* = 28$

$g_{C,rel}^* = 38$



VG370-7, 9stufige Reihen für konstanten CIELAB Buntton 25/360 = 0.071 (links)

16stufige Reihen für konstanten CIELAB Buntton 25/360 = 0.071 (rechts)

BAM-Prüfvorlage VG37; Farbmétrik-Systeme CNS18 & FRS06 input: olv* setrgbcolor

D65: 9 und 16stufige Farbreihen für 10 Bunttöne

output: no change compared to input

Eingabe: Farbmétrisches Natürliches-Reflektiv-System CNS18

für Buntton $h^* = lab^*h = 92/360 = 0.256$

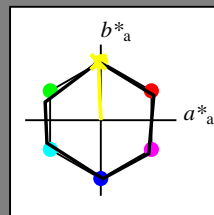
lab^*tch und lab^*nch

D65: Buntton J

LCH*Ma: 57 77 92

olv*Ma: 0.99 1.0 0.0

Dreiecks-Helligkeit t^*



CNS18; adaptierte CIELAB-Daten

	$L^*=L_a^*$	a_a^*	b_a^*	$C_{ab,a}^*$	$h_{ab,a}^*$
RMa	56.7	70.15	32.71	77.4	25
JMa	56.7	-2.69	77.35	77.4	92
GMa	56.7	-73.6	23.92	77.4	162
G50B _{Ma}	56.7	-71.24	-30.23	77.4	203
B _{Ma}	56.7	2.7	-77.34	77.4	272
B50R _{Ma}	56.7	63.4	-44.38	77.4	325
N _{Ma}	18.01	0.0	0.0	0.0	0
W _{Ma}	95.41	0.0	0.0	0.0	0
RCIE	39.92	58.74	27.99	65.07	25
JCIE	81.26	-2.88	71.56	71.62	92
GCIE	52.23	-42.41	13.6	44.55	162
BCIE	30.57	1.41	-46.46	46.49	272

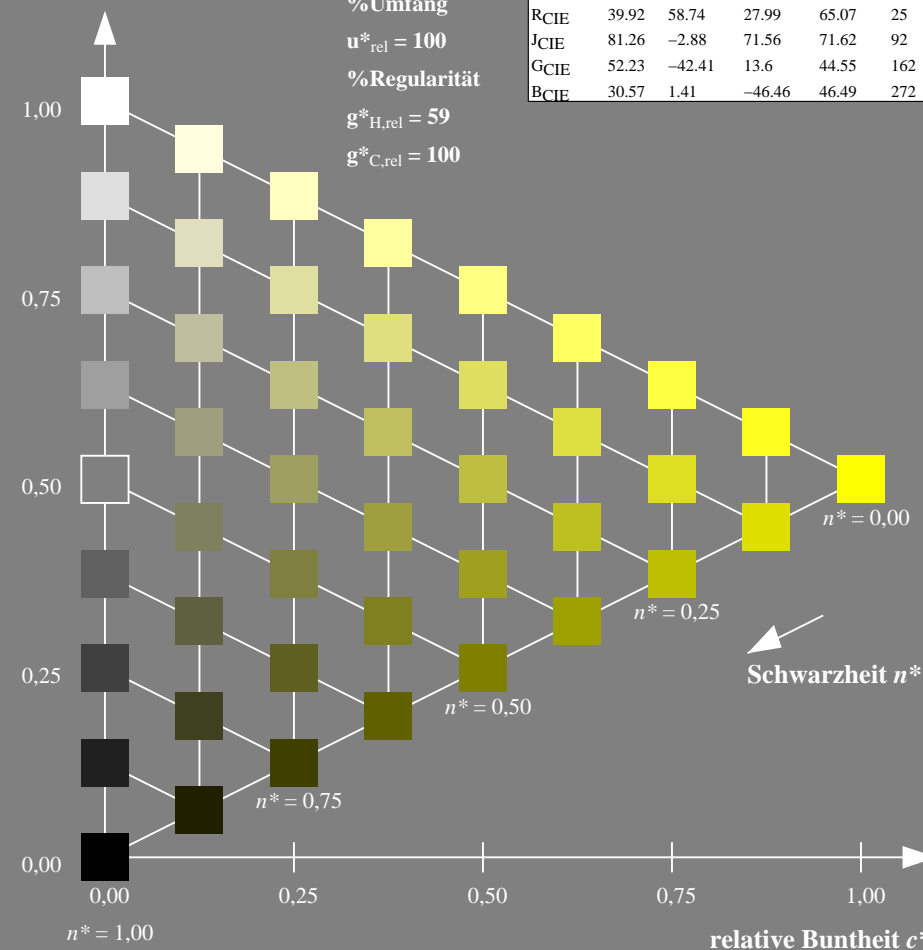
%Umfang

$u_{rel}^* = 100$

%Regularität

$g_{H,rel}^* = 59$

$g_{C,rel}^* = 100$



VG370-7, 9stufige Reihen für konstanten CIELAB Buntton 92/360 = 0.256 (links)

BAM-Prüfvorlage VG37; Farbmétrik-Systeme CNS18 & FRS06 input: olv* setrgbcolor

D65: 9 und 16stufige Farbreihen für 10 Bunttöne

Ausgabe: Farbmétrisches Drucker-Reflektiv-System FRS06

für Buntton $h^* = lab^*h = 92/360 = 0.256$

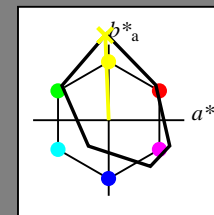
lab^*tch und lab^*nch

D65: Buntton J

LCH*Ma: 82 112 92

olv*Ma: 0.98 1.0 0.0

Dreiecks-Helligkeit t^*



FRS06; adaptierte CIELAB-Daten

	$L^*=L_a^*$	a_a^*	b_a^*	$C_{ab,a}^*$	$h_{ab,a}^*$
OMa	32.57	62.32	46.49	77.75	37
YMa	82.73	-3.16	113.99	114.03	92
LMa	39.43	-61.79	45.84	76.95	143
CMa	47.86	-26.79	-34.24	43.49	232
VMa	10.16	55.12	-61.03	82.24	312
MMa	34.5	80.68	-33.92	87.52	337
N _{Ma}	6.25	0.0	0.0	0.0	0
W _{Ma}	91.97	0.0	0.0	0.0	0
RCIE	39.92	59.8	31.05	67.38	27
JCIE	81.26	-2.52	76.25	76.29	92
GCIE	52.23	-41.56	17.14	44.96	158
BCIE	30.57	2.63	-43.77	43.86	273

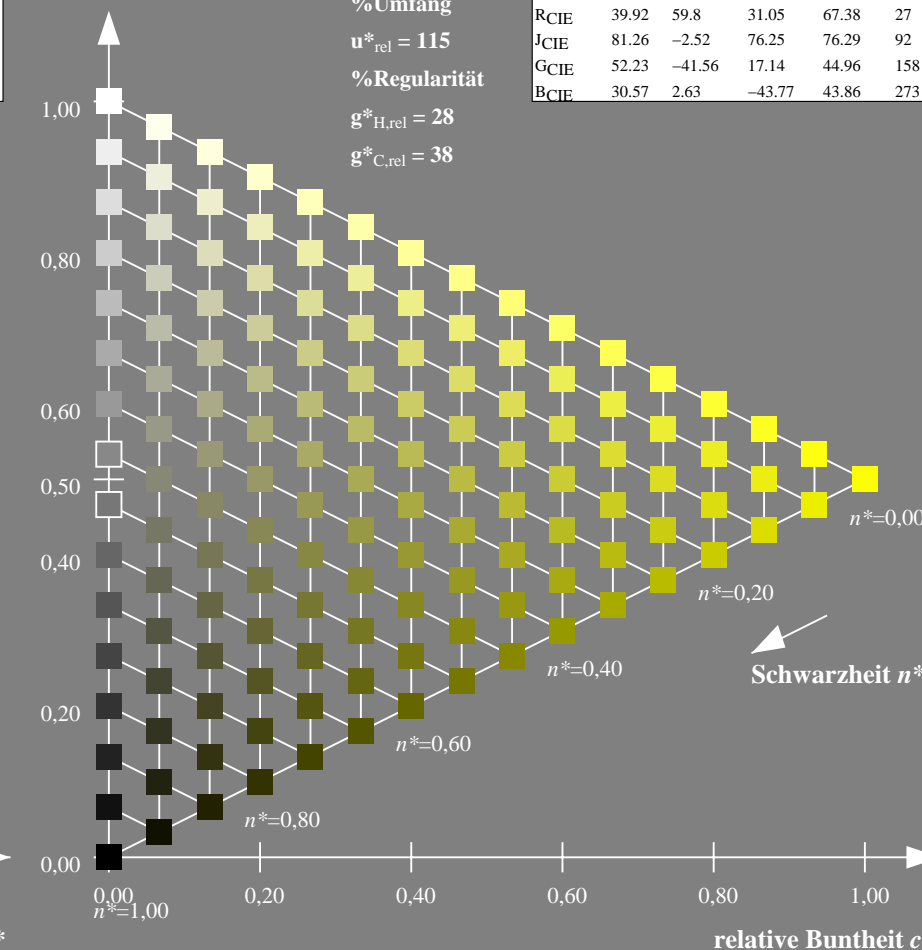
%Umfang

$u_{rel}^* = 115$

%Regularität

$g_{H,rel}^* = 28$

$g_{C,rel}^* = 38$



16stufige Reihen für konstanten CIELAB Buntton 92/360 = 0.256 (rechts)

output: no change compared to input

Eingabe: Farbmétrisches Natürliches-Reflektiv-System CNS18

für Buntton $h^* = lab^*h = 162/360 = 0.451$

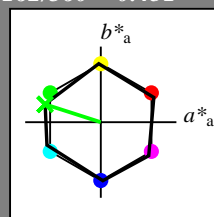
lab^*tch und lab^*nch

D65: Buntton G

LCH*Ma: 57 77 162

olv*Ma: 0.0 1.0 0.01

Dreiecks-Helligkeit t^*



CNS18; adaptierte CIELAB-Daten

	$L^*=L_a^*$	a_a^*	b_a^*	$C_{ab,a}^*$	$h_{ab,a}^*$
RMa	56.7	70.15	32.71	77.4	25
JMa	56.7	-2.69	77.35	77.4	92
GMa	56.7	-73.6	23.92	77.4	162
G50B _{Ma}	56.7	-71.24	-30.23	77.4	203
B _{Ma}	56.7	2.7	-77.34	77.4	272
B50R _{Ma}	56.7	63.4	-44.38	77.4	325
N _{Ma}	18.01	0.0	0.0	0.0	0
W _{Ma}	95.41	0.0	0.0	0.0	0
RCIE	39.92	58.74	27.99	65.07	25
JCIE	81.26	-2.88	71.56	71.62	92
GCIE	52.23	-42.41	13.6	44.55	162
BCIE	30.57	1.41	-46.46	46.49	272

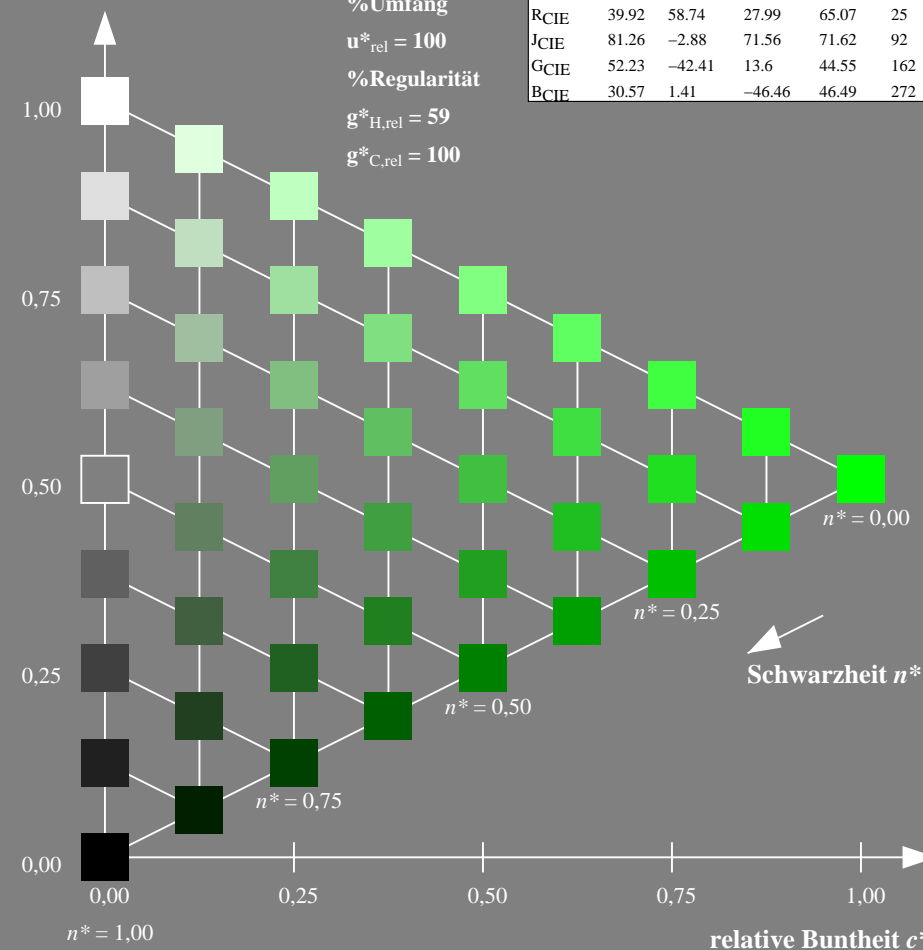
%Umfang

$u_{rel}^* = 100$

%Regularität

$g_{H,rel}^* = 59$

$g_{C,rel}^* = 100$



VG370-7, 9stufige Reihen für konstanten CIELAB Buntton 162/360 = 0.451 (links)

BAM-Prüfvorlage VG37; Farbmétrik-Systeme CNS18 & FRS06 input: olv* setrgbcolor

D65: 9 und 16stufige Farbreihen für 10 Bunttöne

Ausgabe: Farbmétrisches Drucker-Reflektiv-System FRS06

für Buntton $h^* = lab^*h = 162/360 = 0.451$

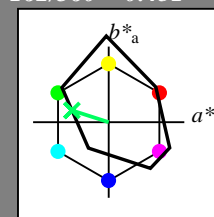
lab^*tch und lab^*nch

D65: Buntton G

LCH*Ma: 43 51 162

olv*Ma: 0.0 1.0 0.38

Dreiecks-Helligkeit t^*



FRS06; adaptierte CIELAB-Daten

	$L^*=L_a^*$	a_a^*	b_a^*	$C_{ab,a}^*$	$h_{ab,a}^*$
OMa	32.57	62.32	46.49	77.75	37
YMa	82.73	-3.16	113.99	114.03	92
LMa	39.43	-61.79	45.84	76.95	143
CMa	47.86	-26.79	-34.24	43.49	232
V _{Ma}	10.16	55.12	-61.03	82.24	312
M _{Ma}	34.5	80.68	-33.92	87.52	337
N _{Ma}	6.25	0.0	0.0	0.0	0
W _{Ma}	91.97	0.0	0.0	0.0	0
RCIE	39.92	59.8	31.05	67.38	27
JCIE	81.26	-2.52	76.25	76.29	92
GCIE	52.23	-41.56	17.14	44.96	158
BCIE	30.57	2.63	-43.77	43.86	273

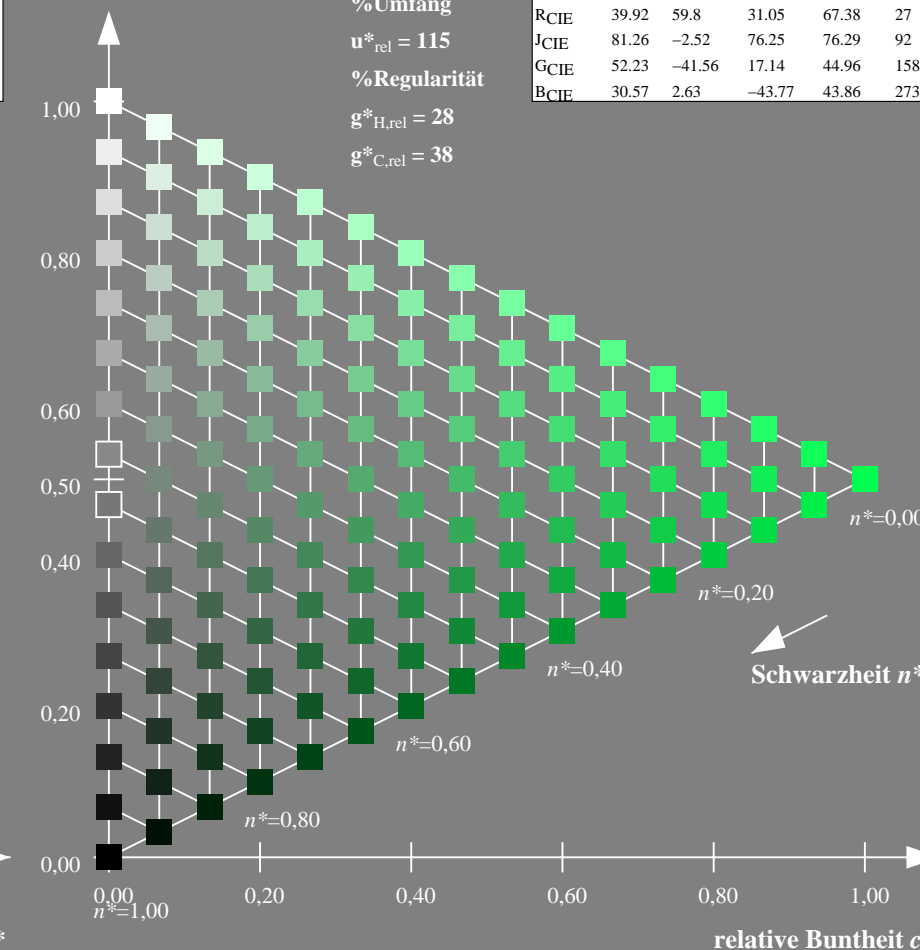
%Umfang

$u_{rel}^* = 115$

%Regularität

$g_{H,rel}^* = 28$

$g_{C,rel}^* = 38$



16stufige Reihen für konstanten CIELAB Buntton 162/360 = 0.451 (rechts)

output: no change compared to input

Eingabe: Farbmétrisches Natürliches-Reflektiv-System CNS18

für Buntton $h^* = lab^*h = 272/360 = 0.755$

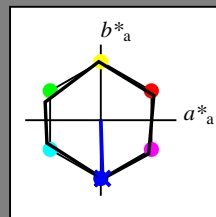
lab^*tch und lab^*nch

D65: Buntton B

LCH*Ma: 57 77 272

olv*Ma: 0.0 0.0 1.0

Dreiecks-Helligkeit t^*



CNS18; adaptierte CIELAB-Daten

	$L^*=L_a^*$	a_a^*	b_a^*	$C_{ab,a}^*$	$h_{ab,a}^*$
RMa	56.7	70.15	32.71	77.4	25
JMa	56.7	-2.69	77.35	77.4	92
GMa	56.7	-73.6	23.92	77.4	162
G50B _{Ma}	56.7	-71.24	-30.23	77.4	203
B _{Ma}	56.7	2.7	-77.34	77.4	272
B50R _{Ma}	56.7	63.4	-44.38	77.4	325
N _{Ma}	18.01	0.0	0.0	0.0	0
W _{Ma}	95.41	0.0	0.0	0.0	0
RCIE	39.92	58.74	27.99	65.07	25
JCIE	81.26	-2.88	71.56	71.62	92
GCIE	52.23	-42.41	13.6	44.55	162
BCIE	30.57	1.41	-46.46	46.49	272

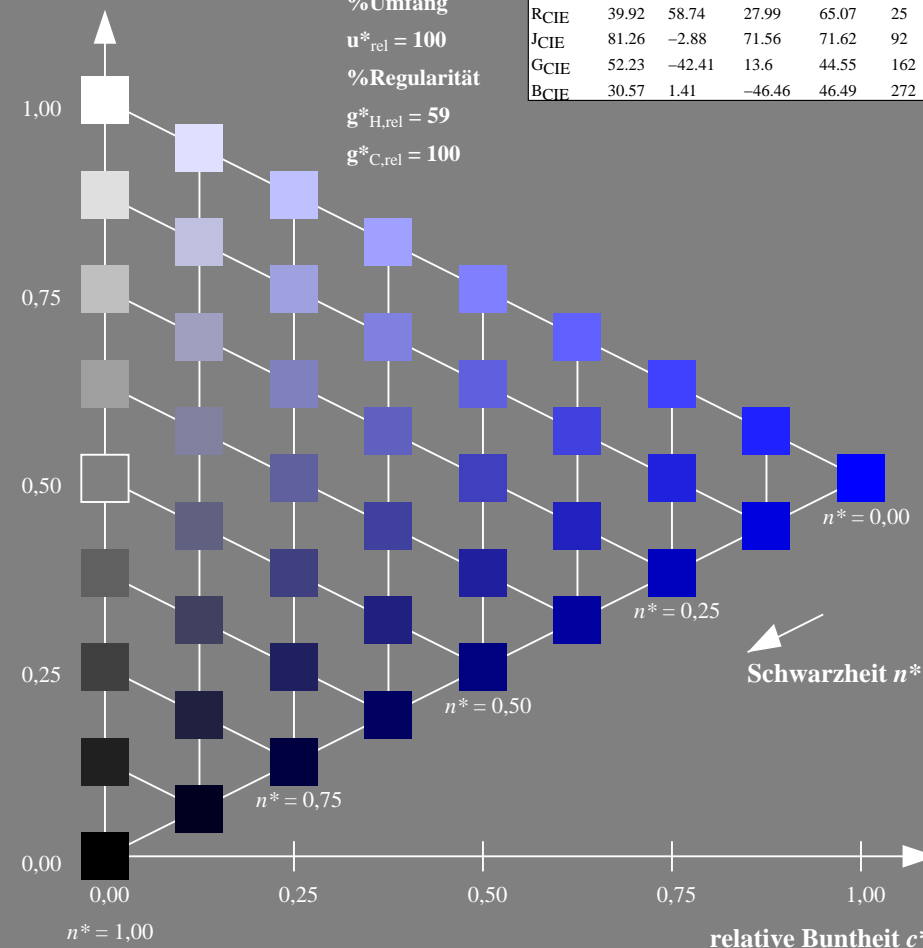
%Umfang

$u_{rel}^* = 100$

%Regularität

$g_{H,rel}^* = 59$

$g_{C,rel}^* = 100$



Schwarzheit n^*

VG370-7, 9stufige Reihen für konstanten CIELAB Buntton $272/360 = 0.755$ (links)

BAM-Prüfvorlage VG37; Farbmétrik-Systeme CNS18 & FRS06 input: olv* setrgbcolor

D65: 9 und 16stufige Farbreihen für 10 Bunttöne

Ausgabe: Farbmétrisches Drucker-Reflektiv-System FRS06

für Buntton $h^* = lab^*h = 272/360 = 0.755$

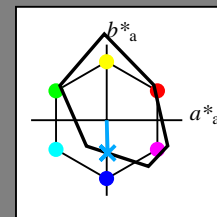
lab^*tch und lab^*nch

D65: Buntton B

LCH*Ma: 35 43 272

olv*Ma: 0.0 0.66 1.0

Dreiecks-Helligkeit t^*



FRS06; adaptierte CIELAB-Daten

	$L^*=L_a^*$	a_a^*	b_a^*	$C_{ab,a}^*$	$h_{ab,a}^*$
OMa	32.57	62.32	46.49	77.75	37
YMa	82.73	-3.16	113.99	114.03	92
LMa	39.43	-61.79	45.84	76.95	143
C _{Ma}	47.86	-26.79	-34.24	43.49	232
V _{Ma}	10.16	55.12	-61.03	82.24	312
M _{Ma}	34.5	80.68	-33.92	87.52	337
N _{Ma}	6.25	0.0	0.0	0.0	0
W _{Ma}	91.97	0.0	0.0	0.0	0
RCIE	39.92	59.8	31.05	67.38	27
JCIE	81.26	-2.52	76.25	76.29	92
GCIE	52.23	-41.56	17.14	44.96	158
BCIE	30.57	2.63	-43.77	43.86	273

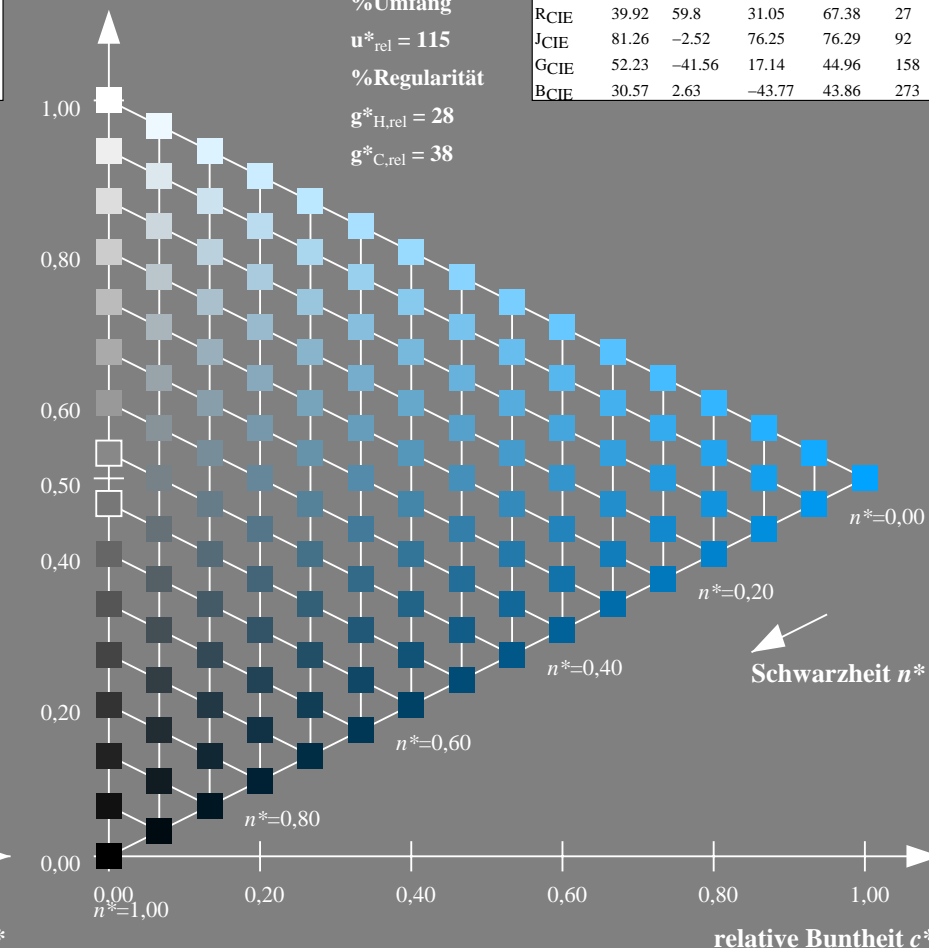
%Umfang

$u_{rel}^* = 115$

%Regularität

$g_{H,rel}^* = 28$

$g_{C,rel}^* = 38$



Schwarzheit n^*

16stufige Reihen für konstanten CIELAB Buntton $272/360 = 0.755$ (rechts)

output: no change compared to input